

ЛОКАЛИЗАЦИЯ НАИБОЛЕЕ ОПАСНЫХ ВОЗМУЩЕНИЙ СЛОЯ ЖИДКОСТИ НА ВРАЩАЮЩЕМСЯ ЦИЛИНДРЕ И ИХ ЭКСПЕРИМЕНТАЛЬНОЕ НАБЛЮДЕНИЕ

к.ф.-м.н. Конон П.Н., к.ф.-м.н. Докукова Н.А., маг. Нестерович С.С.

Белорусский государственный университет, Минск

Процессы, использующие движение жидкости на внешней поверхности вращающегося цилиндра, встречаются при производстве волокнистых материалов центробежно-валковым способом, при нанесении покрытия на вращающуюся цилиндрическую поверхность и в других технологических процессах. В первом из них необходимо проследить за неустойчивостью слоя, во втором – выбрать оптимальное вращение, обеспечивающее равномерное нанесение покрытия.

Исследования устойчивости течений на вращающемся цилиндре проведено в работах [1,2], экспериментальные результаты течений представлены в работах [5,6], нелинейное развитие возмущений в тонком и нетонком слоях исследовано в [3,4]. Общие вопросы математической теории устойчивости гидродинамических течений даны в книге [7]. В данном исследовании особое внимание обращено на определение интенсивности нарастания неустойчивых возмущений, выявлению и локализации наиболее опасных нарастающих волн, экспериментальной верификации результатов.

Постановка задачи и исследование устойчивости движения. Исследуем линейную устойчивость слоя на горизонтальном вращающемся с постоянной угловой скоростью ω_0 цилиндре в невязкой постановке. Исследование устойчивости течения в указанном приближении состоит в том, что профиль основного течения удовлетворяет вязким стационарным уравнениям, а само исследование устойчивости проводится с использованием уравнений движения невязкой жидкости. Это позволяет не только упростить решение задачи, но и в итоге явно выделить наиболее опасные возмущения.

Для описания движения невязкой жидкости используются уравнения Эйлера, неразрывности и неизвестной свободной поверхности в безразмерном виде в цилиндрической системе координат X, Y, θ , в которой ось X направлена вдоль оси цилиндра, ось Y – по его радиусу [7]. В качестве характерного размера используется радиус цилиндра R_0 , а скорости – величина $\omega_0 R_0$. На свободной поверхности $y=h(x, \theta, t)$ выполняется условие Лапласа, выражающее скачок нормальных напряжений, вызванный действием сил поверхностного натяжения. Нормальная компонента скорости жидкости на поверхности цилиндра $y=1$ равна нулю.

Рассмотрим задачу линейной устойчивости слоя жидкости на внешней поверхности горизонтального вращающегося цилиндра. В случае слоя жидкости постоянной толщины, неподвижного относительно поверхности вращающегося цилиндра, при пренебрежении массовых сил стационарные решения имеют вид:

$$U = 0, \quad V = 0, \quad W = y, \quad p = p(y), \quad h = h_0 = \text{const} > 1. \quad (1)$$

Следуя линейной теории гидродинамической устойчивости, предположим, на стационарный слой (1) наложены бесконечно малые возмущения скорости $\vec{v} = (u, v, w)$, давления p и свободной поверхности $y=h(x, \theta, t)$, периодические по углу θ :

$$\begin{aligned} u(x, y, \theta, t) &= u'(x, y, \theta, t), & v(x, y, \theta, t) &= v'(x, y, \theta, t), \\ w(x, y, \theta, t) &= y + w'(x, y, \theta, t), & p(x, y, \theta, t) &= P(y) + p'(x, y, \theta, t), \end{aligned} \quad (2)$$

$$h(x, \theta, t) = h_0 + h'(x, \theta, t).$$

Штрихом обозначены малые возмущения скорости, произведениями которых в дальнейшем будем пренебрегать.

Линеаризация уравнений (2) неустановившегося движения позволяет получить уравнения для возмущений:

$$\begin{aligned} \frac{\partial u'}{\partial t} + \frac{\partial u'}{\partial \theta} &= -\frac{\partial p'}{\partial x}, & \frac{\partial v'}{\partial t} + \frac{\partial v'}{\partial \theta} - 2w' &= -\frac{\partial p'}{\partial y}, \\ \frac{\partial w'}{\partial t} + 2v' + \frac{\partial w'}{\partial \theta} &= -\frac{1}{y} \frac{\partial p'}{\partial \theta}, & y \frac{\partial u'}{\partial x} + v' + y \frac{\partial v'}{\partial y} + \frac{\partial w'}{\partial \theta} &= 0, \\ \frac{\partial h'}{\partial t} + \frac{\partial h'}{\partial \theta} &= v', & y &= h_0 + h'. \end{aligned} \quad (3)$$

Решение уравнений (3) ищем в виде бегущих в осевом и окружном направлении волн:

$$\begin{aligned} u'(x, y, \theta, t) &= u_1(y) e^{i(\alpha x + n\theta - ct)}, & v'(x, y, \theta, t) &= v_1(y) e^{i(\alpha x + n\theta - ct)}, \\ w'(x, y, \theta, t) &= w_1(y) e^{i(\alpha x + n\theta - ct)}, & p'(x, y, \theta, t) &= p_1(y) e^{i(\alpha x + n\theta - ct)}, \\ h'(x, \theta, t) &= h_1 e^{i(\alpha x + n\theta - ct)}. \end{aligned} \quad (4)$$

Здесь $u_1(y)$, $v_1(y)$, $w_1(y)$, $p_1(y)$, h_1 - комплексные амплитуды возмущений, α и n - волновые числа в осевом и окружном направлениях, $c = c_r + ic_i$, c_i - скорость нарастания возмущений. Из линейной невязкой теории гидродинамической устойчивости известно, что при $c_i \neq 0$ течение неустойчиво.

Подставляя (3.4) в уравнения (3.3), получим:

$$\begin{aligned} i(n-c)u_1 &= -i\alpha p_1, & i(n-c)v_1 - 2w_1 &= -\frac{dp_1}{dy}, \\ i(n-c)w_1 + 2v_1 &= -\frac{in}{y} p_1, & i\alpha y u_1 + y \frac{dv_1}{dy} + v_1 + inw_1 &= 0, \\ i(n-c)h_1 &= v_1. \end{aligned} \quad (5)$$

Рассмотрим устойчивость слоя по отношению к бесконечно малым азимутальным возмущениям, т. е. случай, когда $\alpha = 0$, $u_1 = 0$. Это обусловлено тем, что наиболее опасными, быстрорастущими, как следует из результатов работ [3,4] являются именно плоские возмущения. Из (5) получим систему для определения амплитуд возмущений:

$$\begin{aligned} i(n-c)v_1 - 2w_1 &= -\frac{dp_1}{dy}, & i(n-c)w_1 + 2v_1 &= -\frac{in}{y} p_1, \\ v_1 + y \frac{dv_1}{dy} + inw_1 &= 0, & i(n-c)h_1 &= v_1. \end{aligned} \quad (6)$$

Выражая из первых двух уравнений системы (6) значения v_1 и w_1 , и подставляя в третье уравнение этой системы, получим уравнение для $p_1(y)$, имеющее аналитическое решение при $y \geq 1$.

$$\begin{aligned} \frac{d^2 p_1}{dy^2} + \frac{1}{y} \frac{dp_1}{dy} - n^2 \frac{p_1}{y^2} &= 0, \\ p_1(y) &= Ay^n + \frac{B}{y^n}. \end{aligned} \quad (7)$$

Постоянные A и B связаны условием, что радиальная составляющая амплитуды скорости возмущений $v_1 = 0$ при $y = 1$, так что

$$B = A \frac{(c-n)-2}{(c-n)+2}. \quad (8)$$

Комплексные амплитуды возмущений, как решение системы (6) с учетом (8)) представим в виде:

$$\begin{aligned} v_1(y) &= \frac{-inA}{2+c-n} \left(y^{n-1} - \frac{1}{y^{n+1}} \right), & w_1(y) &= \frac{nA}{2+c-n} \left(y^{n-1} - \frac{1}{y^{n+1}} \right), \\ p_1(y) &= A \left(y^n - \frac{c-n-2}{c-n+2} \frac{1}{y^n} \right), & h_1 &= \frac{nA}{(c-n)(2+c-n)} \left(h_0^{n-1} - \frac{1}{h_0^{n+1}} \right). \end{aligned} \quad (9)$$

На свободной поверхности слоя $h = h(\theta, t)$ выполнено уравнение Лапласа на нормальные напряжения

$$p - p_a = \frac{1}{We} \frac{2}{R_s} \quad (10)$$

где p_a – внешнее давление, $We = \rho R_0^3 \omega_0^2 / \sigma$ – число Вебера, ρ – плотность жидкости, σ – коэффициент поверхностного натяжения, а выражение для кривизны поверхности в полярных координатах имеет вид:

$$\frac{2}{R_s} = \left(h^2 + 2 \left(\frac{\partial h}{\partial \theta} \right)^2 - h \frac{\partial^2 h}{\partial \theta^2} \right) \left(\left(\frac{\partial h}{\partial \theta} \right)^2 + h^2 \right)^{-\frac{3}{2}}.$$

Линеаризация уравнения Лапласа и соотношение (4) позволяет получить уравнение для амплитуды возмущений давления:

$$p_1(h_0) = -\frac{1}{We} \frac{1}{h_0^2} (h_1(1-n^2)) - h_0 h_1. \quad (11)$$

Подставляя в (11) значения амплитуды возмущения поверхности и давления из (9), получаем характеристическое уравнение для определения собственного значения c :

$$\begin{aligned} (1+h_0^{2n})c^2 - 2c(nh_0^{2n} - h_0^{2n} + n+1) + n(h_0^{2n} - 1)D_n + (n^2 - 2n)h_0^{2n} + n^2 + 2n &= 0, \\ D_n &= \frac{1}{We} \frac{1}{h_0^3} (1-n^2) + 1. \end{aligned} \quad (12)$$

Течение будет устойчивым, если $c_i = 0$, и дискриминант квадратного уравнения (12) неотрицателен. Тогда

$$(h_0^{2n} - 1) - n(h_0^{2n} + 1)D_n \geq 0.$$

Отсюда выводим условие устойчивости течения по отношению к бесконечно малым азимутальным возмущениям в невязкой постановке:

$$We \leq \frac{n^2 - 1}{h_0 \left(1 - \frac{1}{n} A_n \right)}, \quad A_n = \frac{h_0^{2n} - 1}{h_0^{2n} + 1}. \quad (13)$$

Вычисление значений c_i из (12) позволяют получить соотношение для определения максимальных растущих колебаний:

$$c_i^2 = A_n \left[n \left(\frac{(1-n^2)}{h_0^3 We} + 1 \right) - A_n \right] \quad (13)$$

Результаты исследования устойчивости, определение максимальных растущих возмущений. Результаты исследований вычислений, основанные на анализе соотношений (13)- (14), сведены таблицы и представлены в графическом виде.

В таблице 1 представлены результаты исследования невязкой неустойчивости движения слоя глицерина на внешней поверхности цилиндра радиуса $R_0 = 2,5$ см, вращающегося с постоянной угловой скоростью $\omega_0 = 2\pi n_0$, в зависимости от толщины слоя h_0 .

Таблица 1 – Результаты исследования устойчивости при $h_0 = 1,01$ и $h_0 = 1,1$

n_0 (об/с)	ω_0 (рад/с)	We	$N, h_0 = 1,01$	$N, h_0 = 1,1$
1	6,28	11,10	3	3
2	12,57	44,41	6	7
3	18,85	99,93	10	11
4	25,27	177,65	13	14
5	31,42	277,58	16	18

Из таблицы 1 следует, что невязкая неустойчивость проявляется при модах возмущений $n \leq N$, а длинноволновые возмущения с $n > N$ - устойчивы. С ростом относительной толщины слоя h_0 области неустойчивых возмущений растут вследствие возрастающего влияния центробежных сил. Так, при изменении средней толщины слоя с 1,01 до 1,1 область неустойчивых возмущений при $We=277,58$ увеличивается с $n \leq 16$ до $n \leq 18$.

Анализ соотношения (13) позволяет разделить области устойчивых и неустойчивых возмущений при различных значениях волнового числа n . На рисунке 1 изображены графики функции $lg(We(h_0))$ в зависимости от различных значений моды возмущений n , изменяющейся от 2 (нижняя кривая) до 10 (верхняя кривая). Области неустойчивых возмущений для каждого случая располагается ниже соответствующего графика.

Исследуем наиболее опасные максимально растущие возмущения с помощью выражения (14). На рисунке 2а) изображены зависимости квадрата коэффициента нарастания неустойчивых возмущений слоя от дискретных значений мод n азимутальных волн при трех различных значениях относительной толщины: $h_0 = 1,01$ (нижний график), $h_0 = 1,05$ и $h_0 = 1,1$ (верхний график) при $We=277,58$. Нарастание неустойчивых азимутальных волн и расширение областей неустойчивости с увеличением влияния инерционных возмущений и числа We отражено на рисунке 2б).

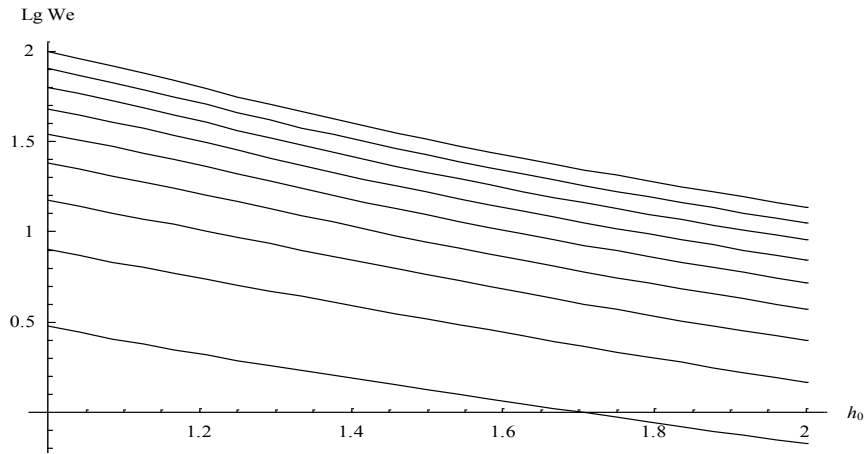


Рис. 1. Зависимость $\lg(We)$ от толщины слоя h_0 при значениях волнового числа $n=2$ (нижний график) до $n=10$ (верхний график)

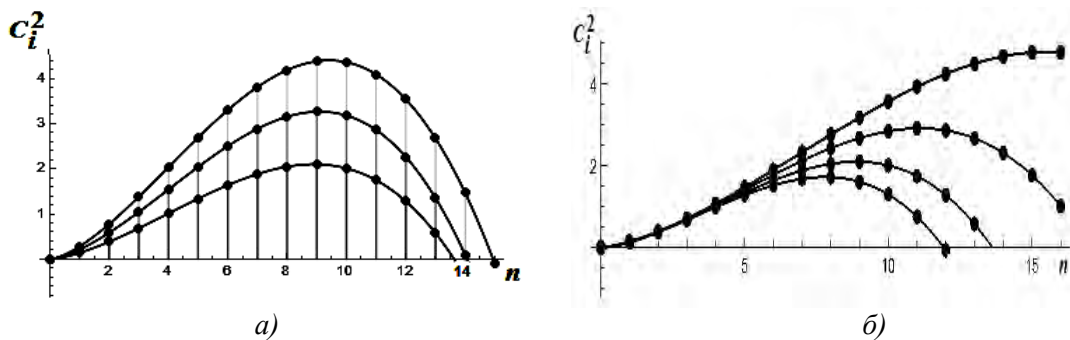


Рис. 2. Зависимость квадрата коэффициента нарастания неустойчивых возмущений c_i^2 от дискретных значений мод n а) при $We=277,58$ и $h_0=1,01$ – нижний график, выше графики соответственно при $h_0=1,05$, $h_0=1,1$; б) при $h_0=1,1$ и различных значениях числа We : $We=11,10$ – нижний график, выше графики соответственно при $We=99,93$, $We=277,58$, $We=544,06$

Анализ двух последних рисунков позволяет определить области неустойчивости и выделить значения мод азимутальных возмущений с максимальным коэффициентом роста c_i . Так, при $We=99,93$ и $h_0=1,1$ неустойчивыми являются возмущения с модой $n \leq 13$, а наиболее растущими - колебания с $n=9$.

Экспериментальная верификация. Исследование соотношения (14) позволяет сделать вывод, что если $We_N < We < We_{N+1}$, то азимутальные возмущения с $n \leq N$ неустойчивы, а с $n > N$ – устойчивы. В результате решения линейной задачи гидродинамической устойчивости получено, что квадрат коэффициента нарастания неустойчивых возмущений в случае идеальной жидкости имеет вид (14). Правая часть (14) обращается в нуль при $n=0$ и меньше нуля при $n=N+1$, поэтому при некотором промежуточном значении $0 < n_* < N+1$ коэффициент нарастания c_i имеет максимум. Так, например, при $We=47$, $h_0=1,0945$ максимальное значение $c_i^2(n)$ достигается при $n_*=5$ и $c_i^2(n) < 0$ при $n \geq 8$. Можно ожидать, что соответствующее этому n_* возмущение будет наиболее неустойчивым и при прочих равных условиях реализуется в эксперименте.

На графике 3 представлено сравнение экспериментальных данных исследования плоских слоев глицерина на вращающемся цилиндре [5,6] при $\sigma=0,07$ н/м, $T=20^\circ\text{C}$ с теоретическими по дискретным модам, величина которых растет с увеличением влияния инерционных сил и числа We . Сравнение дает удовлетворительное соответствие.

Экспериментальные результаты получены с фотографий, а наиболее нарастающие моды – с учетом формулы (14). Некоторое рассогласование результатов вычисленной и экспериментально наблюдаемой моды n объясняется неучетом вязкости и силы тяжести при выводе формулы (14).

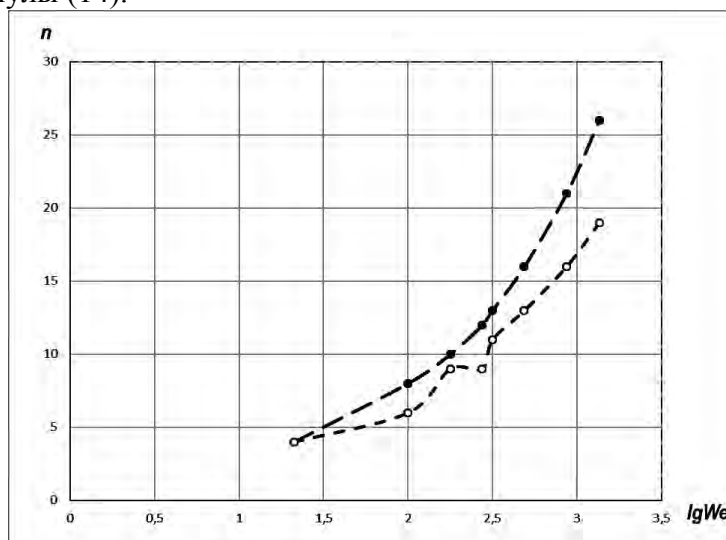


Рис. 3. Определение моды максимально растущих возмущений n в зависимости от числа We : жирные точки – теоретический расчет, светлые точки – экспериментальная кривая

На рисунке 4 представлено фото слоя глицерина на цилиндре радиуса 2,5 см, вращающемся с угловой скоростью $n_0 = 3$ об/сек. Сравнение по модам азимутальных возмущений с аналитическими результатами дает удовлетворительное согласование, что следует из рисунка 3.

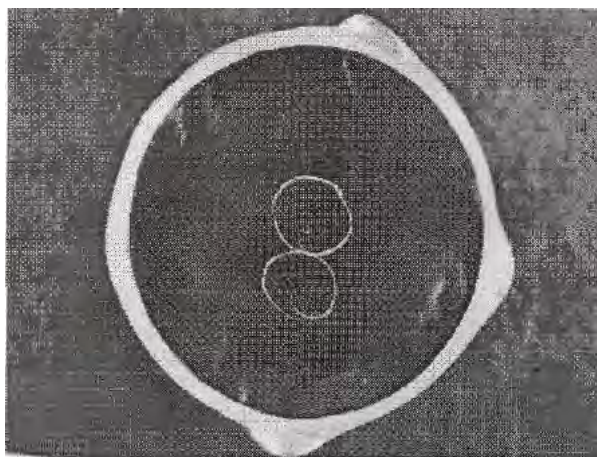


Рис. 4. Возмущения слоя глицерина на цилиндре радиуса 2,5 см, вращающемся с угловой скоростью $n_0 = 3$ об/сек

Таким образом, в экспериментах наблюдаются оптимальные возмущения, соответствующие неустойчивым модам, максимально нарастающие во времени согласно теории гидродинамической устойчивости.

Работа выполнена в рамках задания 2.48 ГПНИ Беларуси «Энергетические системы, процессы и технологии».

ЛИТЕРАТУРА

1. Chia-Shun Yih *Instability of a rotating liquid film with a free surface* // *Proc. Roy. Soc., Vol. A 258*, 1960, p. 1149-1155.
2. Pedley T.I. *The stability of rotating flows with a cylindrical free surface* // *J. of Fluid Mech. Vol. 30, Part I*, 1967, p.127-147.
3. Епихин В.Е., Конон П.Н., Шкадов В.Я. *О возмущенном движении слоя вязкой жидкости на поверхности вращающегося цилиндра* // *ИФЖ-1994.- Т.66, N 6.-С. 689-694.*
4. Evans P.L., Schwartz L.W., Roy R.V. *Three-dimensional solutions for coating flow on a rotating horizontal cylinder: Theory and experiment*// *Physics of fluids*, 17, 2005.
5. Кулаго А.Е. и др. *Экспериментальное и теоретическое исследование слоя жидкости на вращающемся цилиндре* // *Сб. трудов ВНИПИ Теплопроект. М., 1981. - С. 76-81.*
6. Конон П.Н., Кулаго А.Е., Докукова Н.А. *Экспериментальные и теоретические исследования механизма образования металлических и минеральных волокон/ VI Международный симпозиум по трибофатике. Минск, 2010 г., С. 333-335.*
7. Шкадов В.Я. *Некоторые методы и задачи теории гидродинамической устойчивости* // *Ин-т механики МГУ. Научн. тр.- М., 1973. Вып. 25.- 192 с.*